

## НОВЫЕ ЗОЛОТО-ПЛАТИНО-ПАЛЛАДИЕВЫЕ ПРОЯВЛЕНИЯ ПАЛЛАДИЕНОСНОГО ПОЯСА УРАЛА

**Ю.А. Волченко, В.А. Коротеев, И.И. Неустроева, Л.К. Воронина**

Выделение собственно Палладиеносного (главного габбрового) пояса Урала с зональными ультрамафит-мафитовыми (оливинит-ферро-клинопироксенит-горнблендит-метагаббровыми) массивами, специализированными в первую очередь на палладий, платину, золото, серебро, обосновано нами в ряде работ [Волченко и др., 1990, 1998, 1999, 2000]. Типовые объекты пояса (рис. 1) – Качканарский, Павдинский, Кытлымский, Волковский и другие массивы, вмещающие десятки проявлений и небольших месторождений малосульфидных золото-палладиевых с медью и кобальтом руд. Установлена вещественная (минералого-геохимическая) и структурная дискретность рудоносных комплексов Палладиеносного пояса по отношению к дунит-клинопироксенит-тылaitовой структурно-вещественной ассоциации, формирующей массивы собственно Платиноносного пояса

[Волченко и др., 1990]. Откартированные нами в огромных карьерах Качканарского массива структурные несогласия полосчатости в оливиновых клинопироксенитах и ферроклинопироксенитах, ступенчатость разреза подчеркивается наличием на их контактах реакционных фронтальных зон, сложенных оливиновыми магнетитовыми клинопироксенитами и насыщенными полосами и жилами сплошной титаномагнетитовой руды [Волченко, 1972]. На основе представительной коллекции образцов и проб, собранных по 30 золото-палладиевым проявлениям и месторождениям Палладиеносного пояса, рассмотрены особенности распределения и формы нахождения в них благородных металлов (табл. 1-3). Установлено, что платиновые металлы и золото присутствуют в этих образованиях в количестве от сотен мг/т до десятков г/т, при этом среднее содержание палладия

## РУДООБРАЗОВАНИЕ

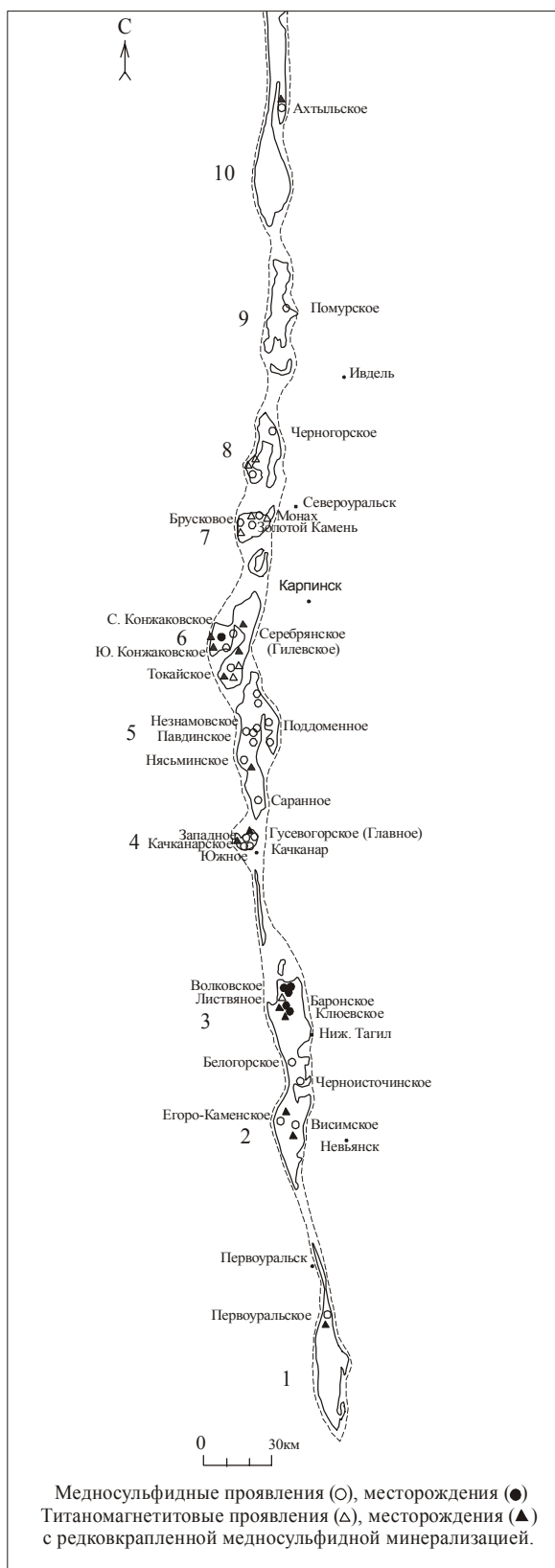


Рис. 1. Палладиеносный пояс Урала (схема). Составлена Волченко Ю.А., Золоевым К.К., Коротеевым В.А. (1998 г.) на основе прогнозно-металлогенической карты платиноносных формаций Северного и Среднего Урала.

Положение массивов палладиеносного пояса с юга на север: 1 – Ревдинский, 2 – Тагильский, 3 – Волковский, 4 – Качканарский, 5 – Павдинский, 6 – Кытлымский, 7 – Кумба, 8 – Денежкин Камень, 9 – Помурский, 10 – Чистопольский.

составляет около 900 мг/т, платины около 120 мг/т, золота около 440 мг/т. Суммарное среднее содержание составляет 1,5 г/т. Собственные минералы благородных металлов впервые выявлены во всех частях разреза Палладиеносного пояса, но наиболее частая встречаемость их установлена во фронтальных и тыловых зонах: в оливинитах, горнблендитах, амфиболовом и амфибол-пироксеновом габбро. Минералы ЭПГ, Ag и Au присутствуют в виде мелких и тонких включений (5x5-5x10 до 25x50 мкм) в парагенезисе с халькопиритом, борнитом, халькозином, кобальтовым пентландитом, роговой обманкой и магнетитом. Отсутствует значимая корреляция между количеством сульфидов в породах и рудах (содержанием меди, никеля, кобальта, серы) и содержанием благородных металлов. Большинство рассмотренных проявлений с граммовыми содержаниями платиноидных металлов являются малосульфидными. Напротив, на золото-палладиевом проявлении Западное в зонах ороговикования амфиболовых габбро, при содержании меди 1,30 мас. %, никеля 0,014 мас. %, кобальта 0,04 мас. %, серы 10,70 мас. % содержание благородных металлов весьма низкое (палладий 0,12 г/т, платина 0,01 г/т, золото 0,02 г/т). Среди выявленных в проявлениях Палладиеносного пояса собственных минералов благородных металлов резко преобладают теллуриды палладия (котульскиты, кейтконниты, меренскииты) с характерными примесями висмута, ртути, меди. Реже встречаются сульфиды, ртутные арсениды и арсено-теллуриды палладия: высокиты, атениты, винцентиты. Серебряные минералы (петцит и, возможно, гессит) встречены в борните в сростках с котульским около пластинок халькопирита. Для сульфидов цветных металлов, парагенных с минералами благородных металлов, очень характерны ощущимые примесные количества золота, серебра, палладия (табл. 2). В борните они составляют 0,10-0,41 мас. %, в халькопирите 0,12-0,16 мас. %, в кобальтовом пентландите 0,20-0,34 мас. %. Для нового перспективного золото-палладиевого

Таблица 1

Распределение благородных металлов  
в золото-палладиевых проявлениях Палладиеносного пояса Урала

| Названия рудопроявлений          | Содержание, мг/т |         |           |       |     |    |    | Рудовмещающие породы  |
|----------------------------------|------------------|---------|-----------|-------|-----|----|----|---|
|                                  | Pd               | Pt      | Au        | Rh    | Ir  | Os | Ru |   |
| <b>Кумбинский массив</b>         |                  |         |           |       |     |    |    |   |
| г. Золотой Камень                | 50               | 40      | 70        | 10    | <10 | <6 | <6 | Габбро амфибол-пироксеновое, оливинсодержащее                               |
| г. Большая Брусковая             | 40               | 10      | 10        | 10    | <10 | <6 | <6 | Габбро амфиболовое с вкрапленностью сульфидов                               |
| г. Вересовый Увал                | 90               | 90      | 50        | 10    | <10 | <6 | <6 | Клинопироксениты амфиболизированные с вкрапленностью сульфидов              |
| <b>Кытлымский массив</b>         |                  |         |           |       |     |    |    |   |
| Серебрянское (Гилевское)         | 230              | 75      | 120       | <5    | <10 | <6 | <6 | Габбро пироксен-амфиболовое с повышенной вкрапленностью сульфидов           |
| Серебрянское                     | 490              | 55      | 40        | <5    | <10 | <6 | <6 | Габбро амфиболовое с повышенной вкрапленностью сульфидов                    |
| Серебрянское                     | 590              | 70      | 33        | 5     | <10 | <6 | <6 | Габбро амфиболовое с полосами горнблендитов                                 |
| Серебрянское                     | 160              | 40      | 76        | <5    | <10 | <6 | <6 | Габбро пироксен-амфиболовое с повышенной вкрапленностью сульфидов           |
| Зап. часть Серебрянского массива | 50               | 60      | 130       | 5     | <10 | <6 | <6 | Габбро-норит амфиболовый с акцессорной сульфидной минерализацией            |
| <b>Павдинский массив</b>         |                  |         |           |       |     |    |    |   |
| Поддоменное                      | 150-1100         | 110-151 | 1400-4900 | <5    | <10 | <6 | <6 | Габбро пироксен-амфиболовое и амфиболовое зеленокаменно-измененное          |
| Габбро у моста через р. Павда    | 10               | 20-50   | 10        | <5    | <10 | <6 | 20 | Габбро амфибол-пироксеновое с акцессорной вкрапленностью сульфидов          |
| Незнамовское                     | 50-100           | 20-50   | 2100      | <5    | <10 | <6 | <6 | Габбро-норит амфиболовый с повышенной вкрапленностью сульфидов              |
| Незнамовское                     | 40               | 20      | 500-1000  | <5    | <10 | <6 | 15 | Пироксениты плагиоклазовые амфиболовые с повышенной вкрапл. сульфидов       |
| Нясьминское                      | 50               | 570     | 170       | <5    | <10 | <6 | <6 | Габбро амфиболовое с линзами горнблендитов и вкр. сульфидов                 |
| <b>Качканарский массив</b>       |                  |         |           |       |     |    |    |   |
| Гусевогорское (главное)          | 50-100           | 20-30   | 10-20     | 10    | <10 | 10 | 10 | Пироксениты магнетитовые амфиболизированные с акц. вкрапл. сульфидов        |
| Западное                         | 80-140           | 10-20   | 10-20     | 10    | <10 | <6 | 10 | Пироксениты магнетитовые амфиболиз. и горнблендиты                          |
| Южная аномалия (ж.д.)            | 500-1200         | 50-550  | 200-1000  | 10    | <10 | <6 | <6 | Пироксениты оливиновые магнетитовые амфиболизир. с повыш. вкрапл. сульфидов |
| Южное                            | 50-340           | 60-130  | 50-100    | 10    | <10 | <6 | <6 | Пироксениты магнетитовые амфибол. и горнблендиты                            |
| <b>Волковский массив</b>         |                  |         |           |       |     |    |    |   |
| Волковское                       | 5460             | 60      | 1600      | 30    | <10 | <6 | 10 | Габбро амфибол-пирокс. И амфиболовое с повышен. вкр. сульфидов              |
| Лаврово-Никол.                   | 3000-6000        | 120-360 | 100-1000  | 10-20 | <10 | <6 | <6 | Габбро амфибол-пирокс. И амфиболовое с повышен. вкр. сульфидов              |
| Баронское                        | 11000            | 340     | 2100      | 10    | <10 | <6 | <6 | Апатитовые оливиниты, верлиты и клинопироксениты                            |
| Клоевское                        | 2750             | 150     | 330       | 10    | <10 | <6 | <6 | Габбро и клинопироксениты   |

## РУДООБРАЗОВАНИЕ

*Окончание табл. 1*

| Названия рудопроявления | Содержание, мг/т |        |        |    |     |    |    | Рудовмещающие породы   |
|-------------------------|------------------|--------|--------|----|-----|----|----|--|
|                         | Pd               | Pt     | Au     | Rh | Ir  | Os | Ru |  |
| Тагильский массив       |                  |        |        |    |     |    |    |  |
| Белогорское             | 50-100           | 30-200 | 10-60  | 10 | <10 | <6 | <6 | Габбро роговообманковое и зеленокаменно-измененное. Габбронориты |
| Черноисточинское        | 10-20            | 30-50  | 10-20  | 10 | <10 | <6 | <6 | Метагаббро амфиболовое и горнблендиты                            |
| Висимское               | 50-100           | 10-30  | 10-20  | 10 | <10 | <6 | <6 | Габбро амфиболовое и горнблендиты                                |
| Ревдинский массив       |                  |        |        |    |     |    |    |  |
| Первоуральское          | 60-500           | 30-50  | 60-300 | 10 | <10 | <6 | <6 | Горнблендиты с вкрапленностью сульфидов                          |

Примечание: анализы на ЭПГ выполнены в Институте геологии и геохимии УрО РАН химико-спектральным и спектро-фотометрическим методами по аттестованным и сертифицированным методикам с чувствительностью Pt – 10 мг/т, Pd – 2 мг/т, Rh – 5 мг/т, Ir – 10 мг/т, Ru – 6 мг/т, Os – 6 мг/т. (Аналитики И.И. Неустроева, Ю.П. Любимцева, О.А. Березикова).

проявления «Южная аномалия» в Качканарском массиве из отобранный крупнообъемной пробы с исходными суммарными содержаниями благородных металлов более 1 г/т выделены флотационные концентраты, содержащие 102,2 г/т Pd, 9,5 г/т Pt, 24,28 г/т Au (табл. 3). Ранее для рудопроявления Гусевогорское (руды Главной и Западной залежи) получен коллективный сульфидный концентрат с суммарным содержанием палладия, платины и золота около 1500 г/т [Волченко и др., 1975]. Формирование благороднометального оруденения Палладиеносного пояса Урала происходило как элемент развития рудообразующей системы острово-дужных габбро (высокоглиноземистых базальтов). Поля устойчивости минеральных ассоциаций палладиевого (золото-палладиевого) оруденения указывают на средние и низкие температуры (600-400°С и менее) при высокой летучести кислорода в рудообразующей системе [Молошаг и др., 1997]. Аналогичная медно-сульфидная золото-палладиевая минерализация с котульским, темагамитом, выявленная недавно в магнетитовых клинопироксенитах и амфиболовом габбро одного их комплексов аляскинского пояса [Уоткинсон и др., 1992], рассматривается как низкотемпературное гидротермальное образование.

Авторы выражают благодарность А.А. Ефимову за представленные для исследований коллективные сульфидные концентраты из рудопроявлений Серебрянского Камня.

### *Список литературы*

*Волченко Ю.А.* Этапность формирования Гусевогорского габбро-пироксенитового массива (Средний Урал) и поведение платиноидов и золота в ходе этого процесса. Проблемы геологии, петрологии, рудогенеза. Свердловск: РИСО УНЦ АН СССР, 1972. С. 64-68.

*Волченко Ю.А., Нечеухин В.М., Радыгин А.И. и др.* Новый тип платиноидной минерализации в гипербазитах складчатых поясов. Т. 224. ДАН СССР. 224. № 1. 1975. С. 182-185.

*Волченко Ю.А., Фоминых В.Г., Нечеухин В.М.* Главные рудные геолого-геохимические системы Урала. М.: Наука, 1990. С. 79-96.

*Волченко Ю.А., Коротеев В.А., Неустроева И.И. и др.* Дискретные парагенетические ассоциации элементов и минералов благородных металлов в мафит-ультрамафитовых комплексах Платиноносного пояса Урала: петро- и рудогенетические следствия. Проблемы петрогенеза и рудообразования. Екатеринбург: РИСО ИГГ УрО РАН, 1998. С. 34-36.

*Волченко Ю.А., Коротеев В.А.* Месторождения полезных ископаемых Урала. Екатеринбург: РИСО УрО РАН, 1999. С. 103-114.

*Волченко Ю.А., Коротеев В.А.* Платино-метальное оруденение палеостроводужных комплексов Урала: Платиноносные и Палладиеносные пояса // Металлогенез и геодинамика Урала. Екатеринбург: УГГА, 2000. С. 94-98.

*Золоев К.К., Волченко Ю.А., Коротеев В.А. и др.* Платинометальное оруденение в гео-

Таблица 2

Состав собственных минералов благородных металлов и минералов с примесными их количествами  
в золото-пalladiевых проявлениях Палладиенского пояса Урала ( мас. % )

| №пп | Pd    | Pt   | Au   | Ag   | Sb   | Bi   | Hg    | Cu    | Fe    | Ni    | Co    | Tе    | As    | S     | Сумма  |
|-----|-------|------|------|------|------|------|-------|-------|-------|-------|-------|-------|-------|-------|--------|
| 1   | 41,04 | 1,81 | 1,30 | 4,10 | 0,07 | 2,81 | -     | 3,90  | 0,75  | 0,19  | -     | 43,28 | -     | 0,29  | 99,54  |
| 2   | 42,00 | 2,50 | 1,20 | -    | 0,06 | 7,28 | -     | 2,10  | 1,10  | 0,25  | -     | 43,51 | -     | -     | 100,00 |
| 3   | 73,50 | 4,60 | -    | -    | -    | -    | сл    | 0,50  | 0,40  | 1,10  | сл    | -     | -     | 21,40 | 101,50 |
| 4   | 26,50 | 0,45 | 1,73 | 0,54 | -    | 0,05 | 18,3  | 0,93  | 2,35  | 0,11  | сл    | 50,50 | 0,20  | 0,09  | 101,75 |
| 5   | 62,60 | 0,30 | -    | -    | -    | -    | 21,10 | 0,10  | 1,10  | 0,20  | сл    | -     | 15,50 | -     | 100,90 |
| 6   | 32,33 | 1,10 | 1,83 | -    | -    | 0,09 | 22,5  | 0,76  | 0,41  | 0,14  | -     | 41,38 | -     | -     | 100,60 |
| 7   | 26,60 | 0,45 | 1,70 | -    | -    | сл   | 18,3  | 1,20  | 2,20  | 0,12  | -     | 50,90 | -     | -     | 101,47 |
| 8   | 34,10 | 1,90 | 2,10 | -    | -    | 0,10 | 0,11  | 0,32  | 1,15  | 0,05  | -     | 57,60 | -     | -     | 97,43  |
| 9   | 41,24 | 3,54 | 1,87 | 0,94 | сл   | 7,96 | -     | 0,56  | 1,00  | 0,44  | -     | 40,80 | -     | -     | 98,35  |
| 10  | 40,20 | 4,30 | 1,41 | 0,72 | -    | 8,46 | -     | 0,86  | 0,74  | 0,35  | -     | 43,16 | -     | -     | 100,20 |
| 11  | 40,55 | 4,00 | 1,35 | 0,83 | -    | 8,25 | -     | 1,10  | -     | 0,18  | -     | 42,37 | -     | -     | 98,63  |
| 12  | 39,20 | 4,24 | 1,42 | 2,10 | сл   | 1,76 | -     | 6,08  | 1,10  | 0,10  | -     | 40,88 | -     | -     | 96,87  |
| 13  | 0,38  | 0,20 | 22,2 | 33,1 | сл   | 1,10 | -     | 1,80  | 2,00  | сл    | -     | 34,60 | -     | -     | 95,38  |
| 14  | 41,40 | 1,81 | 0,84 | -    | сл   | 2,85 | -     | 4,00  | 0,75  | 0,18  | -     | 43,78 | -     | -     | 95,62  |
| 15  | 42,69 | 0,36 | 0,12 | -    | сл   | 3,16 | -     | 4,16  | 1,03  | 0,08  | -     | 45,34 | -     | -     | 97,04  |
| 16  | 27,54 | -    | -    | 0,65 | 0,98 | 0,69 | 0,83  | 0,55  | 0,07  | -     | 67,90 | -     | -     | 99,21 |        |
| 17  | 27,58 | -    | 0,53 | -    | 0,55 | 0,11 | 0,80  | 0,78  | 0,19  | 0,74  | -     | 68,40 | -     | -     | 99,70  |
| 18  | 27,71 | 0,63 | 0,15 | -    | 0,68 | 0,59 | 0,68  | 0,74  | 0,35  | 0,19  | -     | 68,33 | -     | -     | 100,05 |
| 19  | 42,10 | 0,05 | 0,21 | 0,05 | -    | -    | -     | 5,00  | 4,87  | сл    | -     | 42,80 | -     | -     | 95,00  |
| 20  | 59,00 | -    | 0,12 | 0,11 | 0,06 | -    | -     | 13,38 | 2,00  | 0,09  | -     | 23,10 | -     | -     | 97,86  |
| 21  | 44,00 | 1,60 | -    | 0,58 | 0,31 | -    | 0,42  | 0,64  | 4,21  | 0,11  | -     | 45,16 | 0,70  | -     | 97,73  |
| 22  | 56,20 | 0,72 | 0,54 | 0,49 | 0,13 | -    | 0,73  | 4,38  | 6,70  | -     | -     | 8,39  | 18,85 | -     | 97,13  |
| 23  | -     | -    | 0,16 | 0,07 | -    | -    | -     | 63,03 | 11,04 | 0,02  | сл    | -     | -     | 25,34 | 99,66  |
| 24  | -     | -    | 0,31 | 0,10 | -    | -    | -     | 61,75 | 12,03 | 0,04  | сл    | -     | -     | 26,29 | 100,52 |
| 25  | -     | -    | 0,16 | 0,05 | -    | -    | -     | 58,04 | 11,71 | сл    | -     | -     | -     | 29,19 | 99,15  |
| 26  | -     | -    | 0,09 | 0,05 | -    | -    | -     | 34,47 | 30,17 | сл    | 0,03  | -     | -     | 34,32 | 99,13  |
| 27  | -     | -    | 0,12 | 0,08 | -    | -    | -     | -     | 12,04 | 35,21 | 20,15 | -     | -     | 31,74 | 99,34  |
| 28  | -     | -    | 0,21 | 0,12 | -    | -    | -     | -     | 27,07 | 30,37 | 9,31  | -     | -     | 33,71 | 100,79 |
| 29  | 0,03  | -    | 0,11 | 0,03 | -    | -    | -     | 64,52 | 10,18 | -     | -     | -     | -     | 24,22 | 99,09  |
| 30  | -     | -    | 0,16 | -    | -    | -    | -     | 34,08 | 30,40 | -     | -     | -     | -     | 34,51 | 99,14  |
| 31  | 0,05  | -    | 0,19 | 0,10 | -    | -    | -     | сл    | 1,21  | 30,85 | 24,21 | -     | -     | 42,24 | 98,85  |
| 32  | 0,04  | -    | -    | 0,03 | -    | -    | -     | 63,75 | 10,34 | 0,01  | -     | -     | -     | 25,00 | 99,23  |
| 33  | 0,04  | -    | -    | 0,01 | -    | -    | -     | 58,82 | 11,74 | 0,01  | -     | -     | -     | 28,93 | 99,55  |

**Кристаллохимические формулы минералов**

|                                       |  |
|---------------------------------------|--|
| 1. Котульскит медиый висмутсодержащий | $(Pd_{0,88}Cu_{0,14}\dots)_{1,18}(Te_{0,77}Bi_{0,03}\dots)_{0,82}$                       |
| 2. Котульскит медиый висмутсодержащий | $(Pd_{0,93}Cu_{0,08}\dots)_{1,11}(Te_{0,81}Bi_{0,08\dots})_{0,89}$                       |
| 3. Высоцкит                           | $(Pd_{0,98}Pt_{0,03}Ni_{0,026}\dots)_{1,06}S_{0,94}$                                     |
| 4. Котульскит ртутный                 | $(Pd_{0,61}Hg_{0,22}Fe_{0,10}\dots)_{1,02}Te_{0,98}$                                     |
| 5. Атенеит                            | $(Pd_{2,54}Hg_{0,45}Fe_{0,085}Ni_{0,015}\dots)_{3,11}As_{0,89}$                          |
| 6. Котульскит ртутный                 | $(Pd_{0,78}Hg_{0,29}\dots)_{1,16}Te_{0,84}$  |
| 7. Котульскит ртутный                 | $(Pd_{0,61}Hg_{0,22}Fe_{0,10}\dots)_{1,02}Te_{0,98}$                                     |
| 8. Котульскит                         | $(Pd_{0,78}Pt_{0,02}Au_{0,026}Fe_{0,05}\dots)_{0,90}Te_{1,10}$                           |
| 9. Котульскит висмутсодержащий        | $(Pd_{0,95}Pt_{0,04}Fe_{0,04\dots})_{1,12}(Te_{0,79}Bi_{0,09})_{0,88}$                   |
| 10. Котульскит висмутовый             | $(Pd_{0,92}Pt_{0,05}\dots)_{1,08}(Te_{0,82}Bi_{0,10})_{0,92}$                            |
| 11. Котульскит висмутовый             | $(Pd_{0,94}Pt_{0,05}Cu_{0,04}\dots)_{1,08}(Te_{0,82}Bi_{0,10})_{0,92}$                   |
| 12. Котульскит медиый                 | $(Pd_{0,85}Cu_{0,22}Pt_{0,05}\dots)_{1,24}(Te_{0,74}Bi_{0,02})_{0,76}$                   |
| 13. Петцит                            | $(Ag_{2,41}Pd_{0,03}Cu_{0,22}Fe_{0,28}\dots)_{2,95}Au_{0,88}(Te_{2,13}Bi_{0,04})_{2,17}$ |
| 14. Котульскит висмутсодержащий       | $(Pd_{0,93}Pt_{0,02}Cu_{0,15}Fe_{0,03}\dots)_{1,15}(Te_{0,82}Bi_{0,03})_{0,85}$          |
| 15. Котульскит медиый                 | $(Pd_{0,93}Cu_{0,15}Fe_{0,04}\dots)_{1,14}Te_{0,86}$                                     |
| 16. Меренскиит                        | $(Pd_{0,94}Cu_{0,05}Fe_{0,04}\dots)_{1,04}Te_{1,96}$                                     |
| 17. Меренскиит                        | $(Pd_{0,93}Cu_{0,04}Ni_{0,05}\dots)_{1,05}Te_{1,95}$                                     |
| 18. Меренскиит                        | $(Pd_{0,94}Cu_{0,04}Fe_{0,02}\dots)_{1,04}(Te_{1,93}Sb_{0,02}Bi_{0,01})_{1,96}$          |
| 19. Котульскит медиый                 | $(Pd_{0,88}Cu_{0,17}Fe_{0,20})_{1,25}Te_{0,75}$  |
| 20. Кейтконнит медиый                 | $(Pd_{2,25}Cu_{0,86}Fe_{0,14}\dots)_{3,26}Te_{0,74}$                                     |
| 21. Котульскит                        | $(Pd_{0,94}Fe_{0,17}Pt_{0,02}\dots)_{1,17}(Te_{0,80}As_{0,02}\dots)_{0,83}$              |
| 22. Винцентит                         | $(Pd_{2,01}Fe_{0,46}Cu_{0,26})_{2,79}(As_{0,96}Te_{0,25})_{1,21}$                        |
| 23. Борнит                            | $(Cu_{5,00}Au_{0,004}Ag_{0,003}\dots)_{5,015}Fe_{1,00}S_{3,99}$                          |
| 24. Борнит                            | $(Cu_{4,83}Au_{0,008}Ag_{0,005}\dots)_{4,85}Fe_{1,07}S_{4,08}$                           |
| 25. Борнит                            | $(Cu_{4,49}Au_{0,004}Ag_{0,002}\dots)_{4,50}Fe_{1,03}S_{4,47}$                           |
| 26. Халькопирит                       | $(Cu_{1,00}Au_{0,001}Ag_{0,001}\dots)_{1,01}Fe_{1,00}S_{1,99}$                           |
| 27. Кобальтовый пентландит            | $(Ni_{4,75}Co_{2,70}Fe_{1,71}Au_{0,005}Ag_{0,006})_{9,17}S_{7,83}$                       |
| 28. Кобальтовый пентландит            | $(Ni_{3,97}Fe_{3,72}Co_{1,21}Au_{0,01}Ag_{0,01})_{8,93}S_{8,07}$                         |
| 29. Борнит                            | $(Cu_{5,19}Pd_{0,001}Au_{0,003}Ag_{0,001})_{5,21}Fe_{0,93}S_{3,86}$                      |
| 30. Халькопирит                       | $(Cu_{0,99}Au_{0,002}Fe_{1,00})_{1,00}Fe_{1,00}S_{2,00}$                                 |
| 31. Кобальтовый пентландит            | $(Ni_{3,92}Co_{3,07}Fe_{0,16}Pd_{0,004}Au_{0,007}Ag_{0,007})_{7,17}S_{9,83}$             |
| 32. Борнит                            | $(Cu_{5,096}Pd_{0,002}Ag_{0,001})_{5,10}Fe_{0,94}S_{3,96}$                               |
| 33. Борнит                            | $(Cu_{4,54}Pd_{0,002}Ag_{0,001})_{4,55}Fe_{1,03}S_{4,42}$                                |

Примечание: анализы выполнены методами РСМА на приборе IXA-5 в Институте геологии и геохимии УрО РАН (аналитик Л.К. Воронина). Образцы отобраны из рудопроявлений: 1, 14, 15 – Серебрянское; 2 – Поддоменное; 3-5 – Гусевогорское Главное; 6-8 – Западное; 9-11 – Южная аномалия (ж.д.); 12-13 – Южное; 16-18 – Волковское; 19-20 – Баронское; 21-22 – Клюевское; 23, 27 – г. Золотой Камень; 24, 26 – г. Монах; 25 – г. Большая Брусковая; 28 – Белогорское; 29-33 – Серебрянские (Гилевские) р.п.

логических комплексах Урала. Екатеринбург: ОАО УГСЭ, 2001. 1999 с.

Молошаг В.П., Гуляева Т.Я., Грабежев А.И. Фугометрия рудно-метасоматических систем Урала. Ежегодник-1996. Екатеринбург: ИГГ УрО РАН. 1997. С. 166-168.

Watkinson David H., Melling David R. Hydrothermal origin of platinum-group mineralization in low-temperature copper sulfide-rich assemblages, Salt Chuck intrusion, Alaska // Econ. Geol. 1992. 87. № 1. P. 175-184.

Таблица 3

Результаты флотации малосульфидных золото-платино-палладиевых руд  
рудопроявления «Южная аномалия» (Качканарский массив)

| Наименование<br>продуктов | в г/т  |      |       | в мас. % |      |      |      |      |
|---------------------------|--------|------|-------|----------|------|------|------|------|
|                           | Pd     | Pt   | Au    | Fe       | Cu   | Ni   | Co   | S    |
| Концентрат                | 102,20 | 9,50 | 24,28 |          |      |      |      |      |
| Пр. Пр. III               | 88,00  | 6,08 | 11,40 |          |      |      |      |      |
| Пр. Пр. II                | 17,60  | 1,64 | 4,08  |          |      |      |      |      |
| Пр. Пр. I                 | 2,78   | 0,15 | 0,17  |          |      |      |      |      |
| К-т контр. флотации       | 1,80   | 0,09 | 0,12  |          |      |      |      |      |
| Хвосты контр. флотации    | 0,34   | 0,02 | 0,02  |          |      |      |      |      |
| Шламы                     | 2,56   | 0,11 | 0,02  |          |      |      |      |      |
| Исходный продукт          | 0,97   | 0,06 | 0,18  | 11,17    | 1,00 | 0,03 | 0,01 | 0,05 |

Примечание: анализы на ЭПГ выполнены в Институте геологии и геохимии УрО РАН химико-спектральным и спектро-фотометрическим методами по аттестованным и сертифицированным методикам с чувствительностью Pt – 10 мг/т, Pd – 2 мг/т, Rh – 5 мг/т, Ir – 10 мг/т, Ru – 6 мг/т, Os – 6 мг/т. Содержания тугоплавких платиноидов ниже чувствительности метода анализа (аналитики И.И. Неустроева, Ю.П. Любимцева, О.А. Березикова). Анализы на цветные металлы выполнены в ОАО «Уральская центральная лаборатория» (аналитики Н.В. Филиппова, О.А. Чембарцева).